

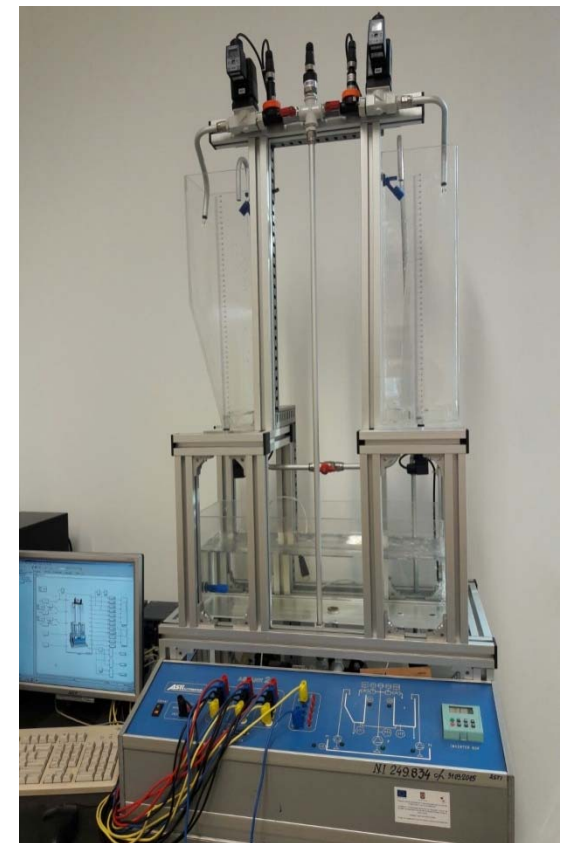
Modelarea si identificarea unei instalatii hidraulice cu doua rezervoare

Seminar stiintific
20.10.2016

Janetta Culita
Dan Stefanoiu

Cuprins

1. Motivatie
2. Prezentarea instalatiei ASTANK2
3. Modelul analitic
4. Extinderea modelului analitic
5. Modelul experimental
6. Rezultatele simularilor
7. Concluzii si directii de cercetare viitoare





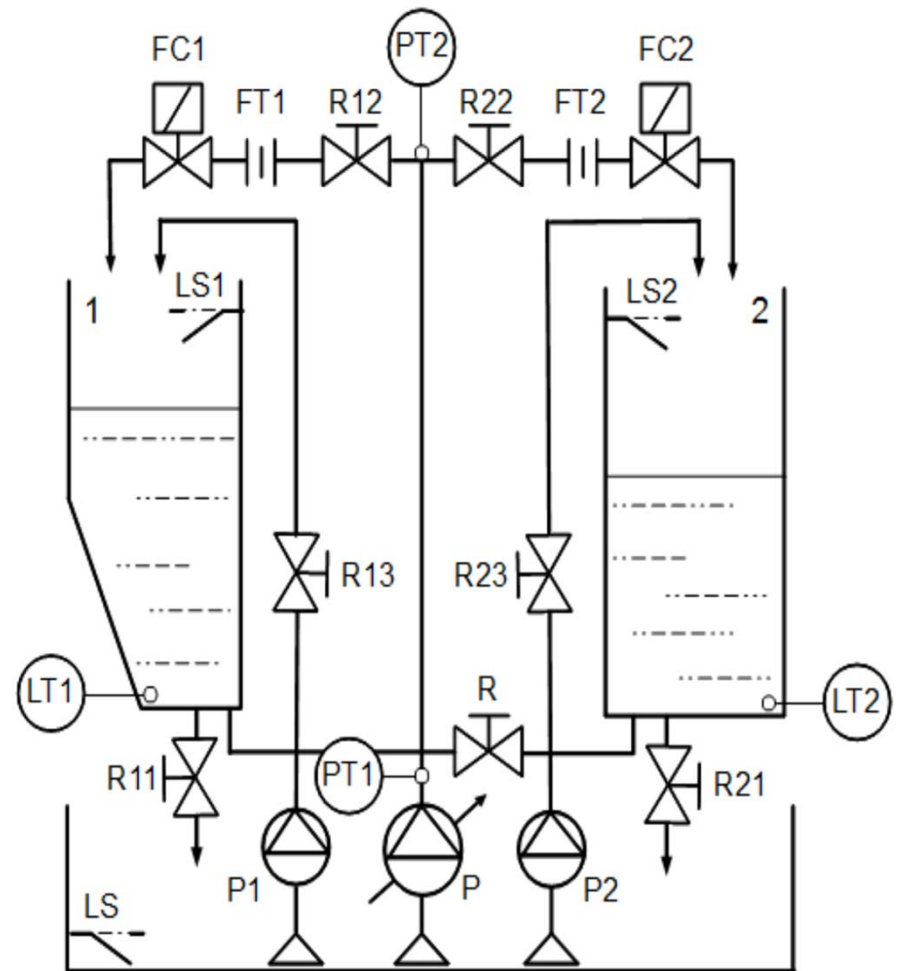
1. Motivatie

- Procesele fluidice - intalnite in diferite domenii ale industriei (energie, petro-chimie, tratarea apei) sau in agricultura;
 - Sunt constituite din rezervoare multiple interactive - procese multivariable cu dinamica neliniara;
 - In literatura de specialitate :
 - sunt prezentate instalatii cu 2, 3, 4 rezervoare (clasic)
 - diferite forme geometrice (rectangulare, conice, sferice) -> modele nelinare
 - aplicarea variatelor strategii de control pentru nivelul de lichid din rezervoare (PI, PID, bazate pe logica fuzzy, MPC)
- Observatie !* Modelele prezentate sunt modele analitice (clasice)
- *Propuneri* : modele analitic; analitic si experimental; experimental

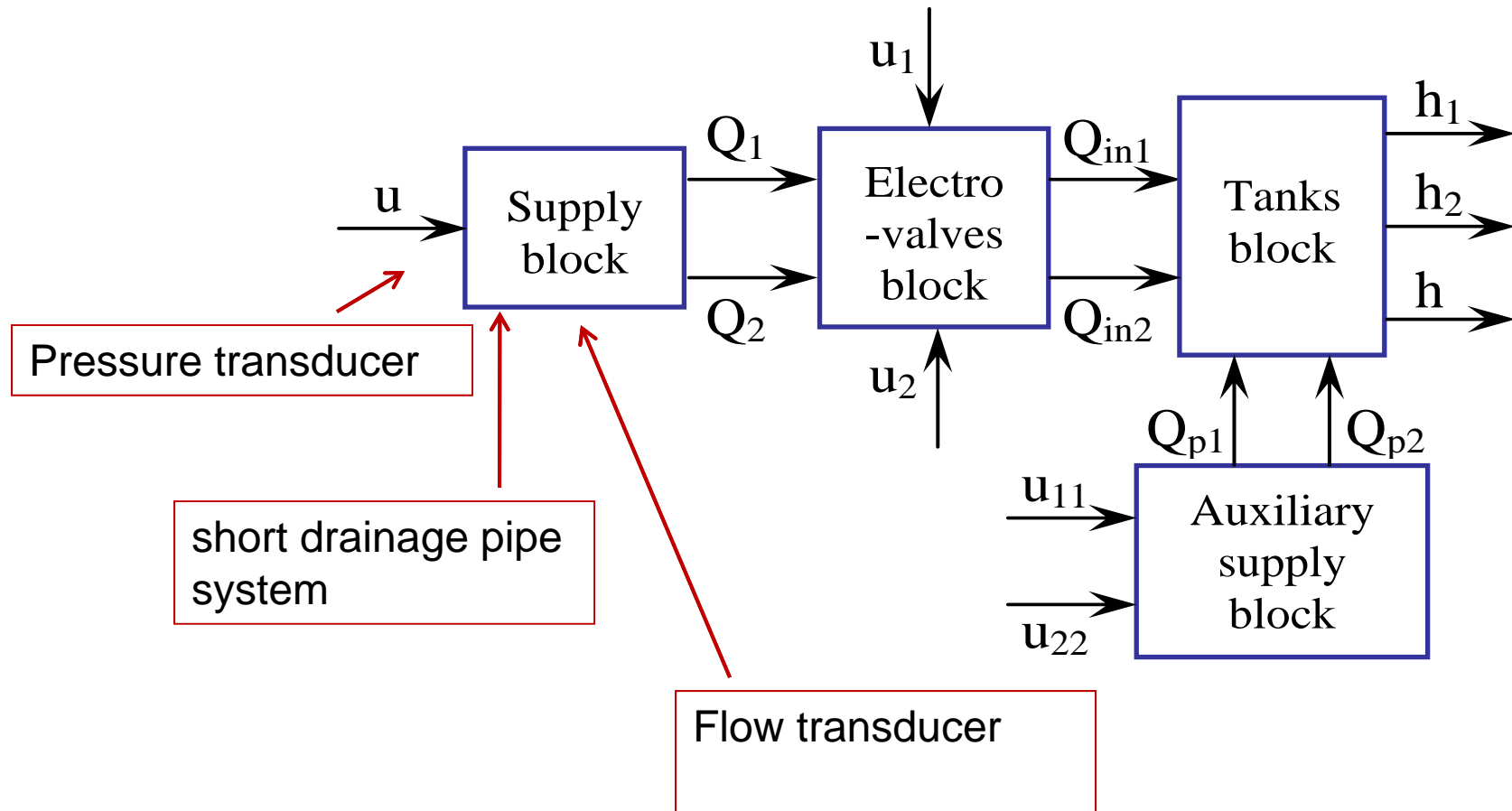
2. Prezentarea instalatiei ASTANK2

Caracteristici :

- Versatilitate
- Forma geometrica neregulata pentru primul rezervor - prisma
- Proces multivariabil
- **Marimi de intrare:**
 - tensiunea de alimentare a pompei principale P - u ;
 - Tensiunile aplicate pe fiecare electro-valva FC1, FC2 – u_1, u_2
 - Setarea ON/OFF a pompelor auxiliare (u_{11}, u_{22})
- **Marimi de iesire :** nivelurile de lichid din rezervoarele principale (h_1, h_2)



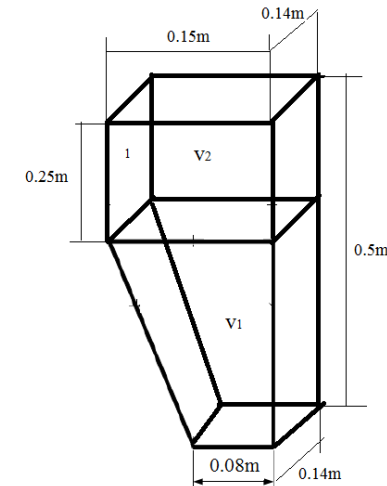
3. Modelul analitic (1)



3. Modelul analitic (2)

- Rezervor prismatic:

$$V_1(h_1) = \begin{cases} L \cdot l \cdot h_1 + \frac{h_1^2 \cdot l \cdot \tan \theta}{2} & , h_1 \leq H \\ h_1 \cdot l \cdot (L + H \cdot \tan \theta) - \frac{H^2 \cdot l \cdot \tan \theta}{2} & , h_1 > H \end{cases}$$



- Modelul analitic :

$$\begin{cases} \left[L \cdot l + l \cdot \tan \theta \cdot h_1(t) \right] \frac{dh_1(t)}{dt} = Q_{in1}(t) - a_1 \sqrt{2 \left[gh_1(t) \left[1 + \frac{h_1(t)}{4L} \sin(2\theta) \right] \right]} ; & , h_1 \leq H \\ l \cdot (L + H \cdot \tan \theta) \cdot \frac{dh_1(t)}{dt} = Q_{in1}(t) - a_1 \sqrt{2gh_1(t) \left[1 + \frac{H}{2L} \sin(2\theta) \right] - g \frac{H^2}{2L} \sin(2\theta)} & , h_1 > H \end{cases}$$

3. Modelul analitic (3)

□ Modelul analitic al rezervorului paralelipedic:

$$A_2 \frac{dh_2(t)}{dt} = Q_{in2}(t) - a_2 \sqrt{2gh_2(t)}$$

□ Modelul analitic al rezervorului acumulator:

$$\begin{cases} A_T \frac{dh(t)}{dt} = a_1 \sqrt{2 \left[gh_1(t) \left[1 + \frac{h_1(t)}{4L} \sin(2\theta) \right] \right]} + a_2 \sqrt{2gh_2(t)} - Q(t); & , h_1 \leq H \\ A_T \frac{dh(t)}{dt} = a_1 \sqrt{2gh_1(t) \left[1 + \frac{H}{2L} \sin(2\theta) \right] - g \frac{H^2}{2L} \sin(2\theta)} + a_2 \sqrt{2gh_2(t)} - Q(t) & , h_1 > H \end{cases}$$

Debitul pe conducta de comunicare:

$$Q_c = a_c \operatorname{sign}(P(h_1) - \rho gh_2) \sqrt{\frac{2(P(h_1) - \rho gh_2)}{\rho}}$$

3. Modelul analitic al rezervoarelor (4)

$$h_1 \leq H$$

$$\begin{aligned} \left[L \cdot l + l \cdot h_1(t) \cdot \tan \theta \right] \frac{dh_1(t)}{dt} = Q_{in1}(t) + Q_{p1}(t) - \\ - a_1 \sqrt{2 \left[gh_1(t) \left[1 + \frac{h_1(t)}{4 \cdot L} \sin(2\theta) \right] \right]} - \\ - a_c \operatorname{sign} \left(h_1(t) - h_2(t) + \frac{h_1^2(t)}{4L} \sin(2\theta) \right) \times \\ \times \sqrt{2g \left(h_1(t) - h_2(t) \right) + \frac{\rho gh_1^2(t)}{4L} \sin(2\theta)}; \end{aligned}$$

$$\begin{aligned} A_2 \frac{dh_2(t)}{dt} = Q_{in2}(t) + Q_{p1}(t) - a_2 \cdot \sqrt{2gh_2(t)} + \\ + a_c \operatorname{sign} \left(h_1(t) - h_2(t) + \frac{h_1^2(t)}{4L} \sin(2\theta) \right) \times \\ \times \sqrt{2g \left(h_1(t) - h_2(t) \right) + \frac{\rho gh_1^2(t)}{4L} \sin(2\theta)}; \end{aligned}$$

$$\begin{aligned} A_T \frac{dh(t)}{dt} = a_1 \sqrt{2 \left[gh_1(t) \left[1 + \frac{h_1(t)}{4L} \sin(2\theta) \right] \right]} + \\ + a_2 \sqrt{2gh_2(t)} - Q(t) - Q_{p1}(t) - Q_{p2}(t). \end{aligned}$$

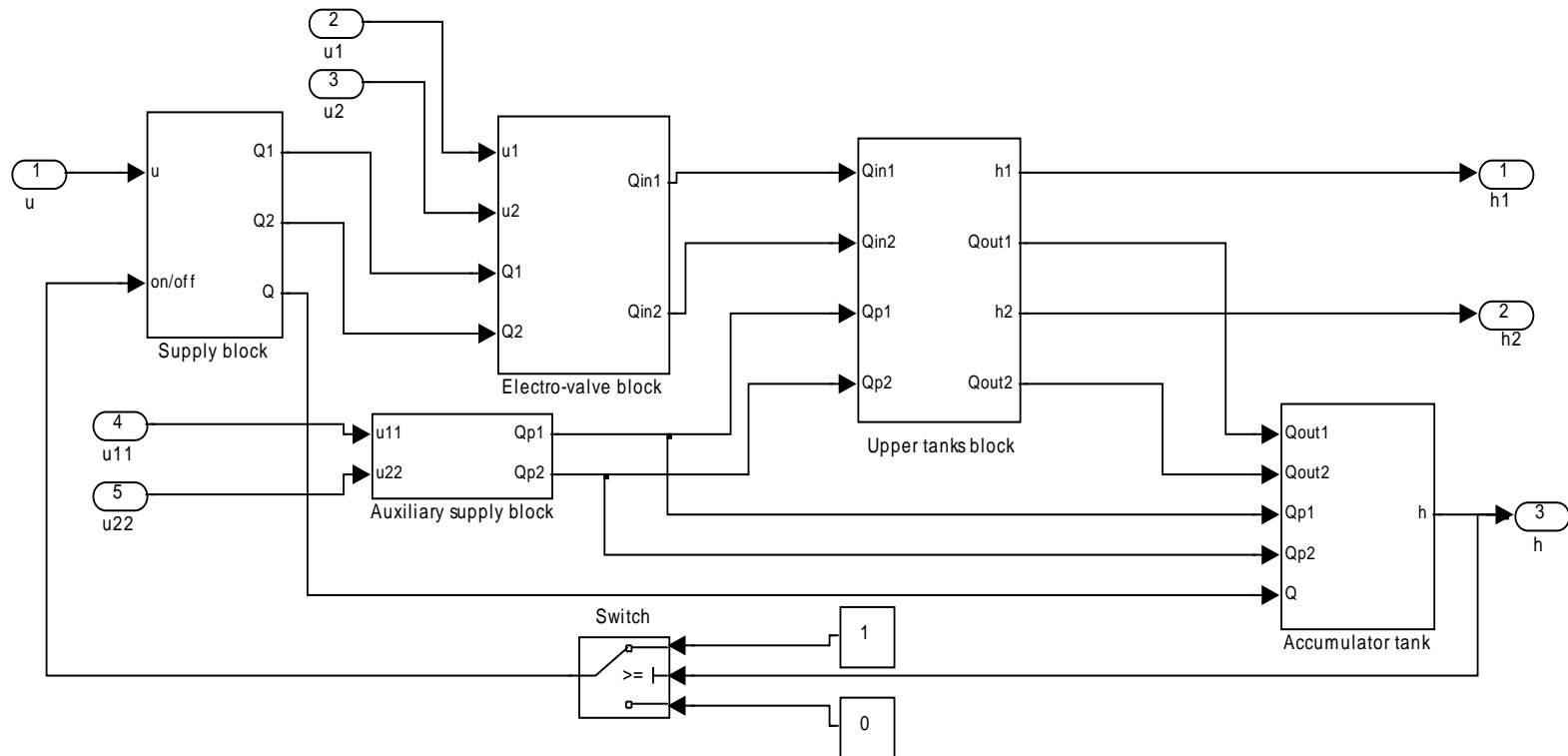
$$h_1 > H$$

$$\begin{aligned} l(L + H \cdot \tan \theta) \frac{dh_1(t)}{dt} = Q_{in1}(t) + Q_{p1}(t) - \\ - a_1 \sqrt{2gh_1(t) \left[1 + \frac{H}{2L} \sin(2\theta) \right]} - g \frac{H^2}{2L} \sin(2\theta) - \\ - a_c \operatorname{sign} \left(h_1(t) - h_2(t) + \frac{h_1(t)H}{2L} \sin(2\theta) - \frac{H^2}{4L} \sin(2\theta) \right) \times \\ \times \sqrt{2g \left[h_1(t) - h_2(t) + \frac{h_1(t)H}{2L} \sin(2\theta) - \frac{H^2}{4L} \sin(2\theta) \right]} \end{aligned}$$

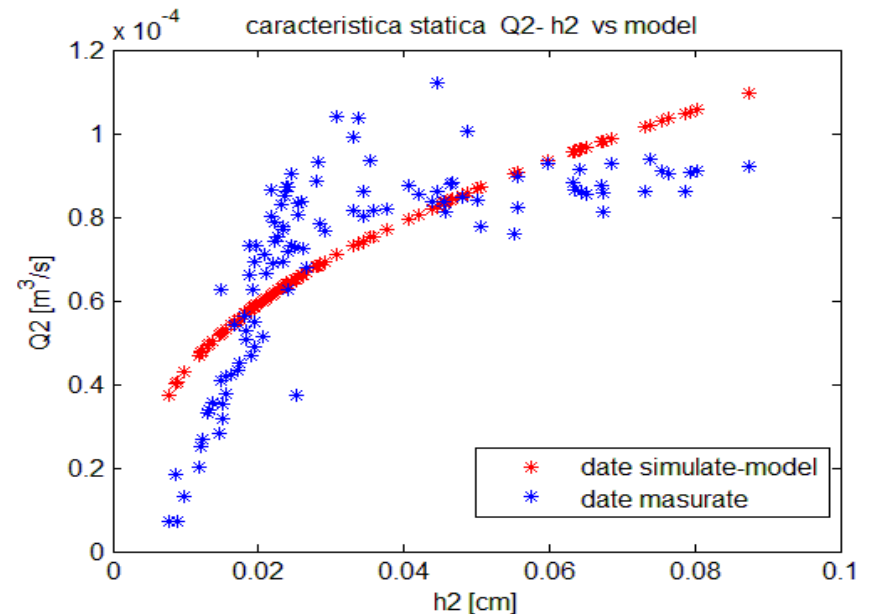
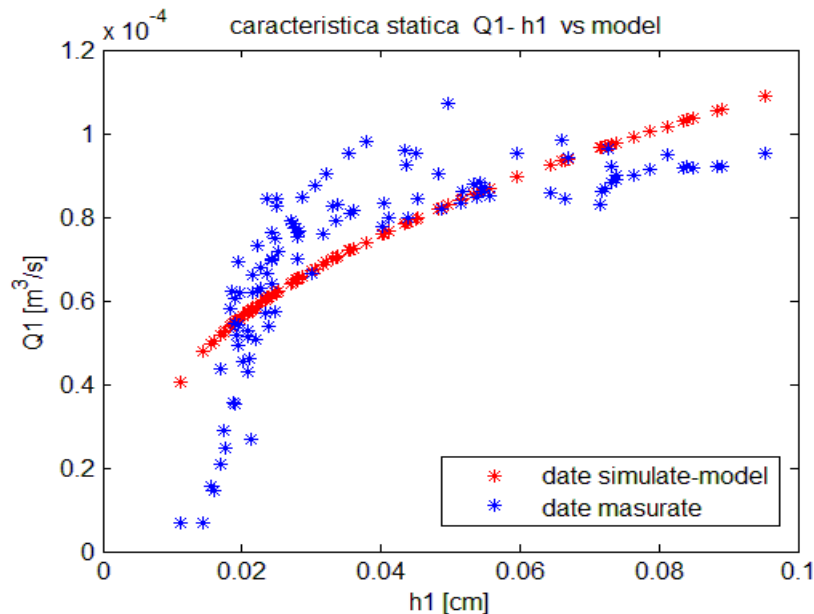
$$\begin{aligned} A_2 \frac{dh_2(t)}{dt} = Q_{in2}(t) + Q_{p1}(t) - a_2 \sqrt{2gh_2(t)} + \\ + a_c \operatorname{sign} \left(h_1(t) - h_2(t) + \frac{h_1(t)H}{2L} \sin(2\theta) - \frac{H^2}{4L} \sin(2\theta) \right) \times \\ \times \sqrt{2g \left[h_1(t) - h_2(t) + \frac{h_1(t)H}{2L} \sin(2\theta) - \frac{H^2}{4L} \sin(2\theta) \right]} \end{aligned}$$

$$\begin{aligned} A_T \frac{dh(t)}{dt} = a_1 \sqrt{2gh_1(t) \left[1 + \frac{H}{2L} \sin(2\theta) \right]} - g \frac{H^2}{2L} \sin(2\theta) + \\ + a_2 \sqrt{2gh_2(t)} - Q(t) - Q_{p1}(t) - Q_{p2}(t) \end{aligned}$$

3. Modelul analitic (5) ASTANK2 – schema bloc in Simulink



3. Modelul analitic (6)

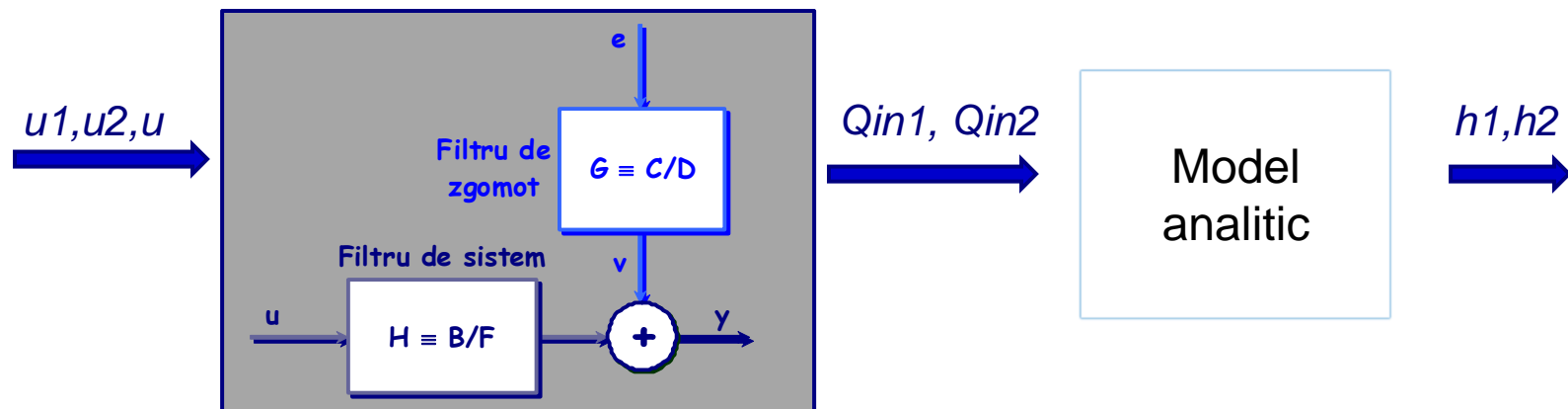


Dificultati & discutii:

- o valorile coeficientilor de curgere dependente de configuratia rezervoarelor (aplicarea LSM)
- o determinarea precisa a coeficientilor de curgere a_1 , a_2 , ac in configuratia completa -> necesitatea adaugarii unor senzori de debit la iesirea rezervoarelor
- o decalibrarea senzorilor in timpul functionarii instalatiei
- o s-a analizat fenomenul de histerezis - > neglijabil

4. Extinderea modelului analitic

- pastrarea modelului analitic al rezervoarelor
 - **identificarea** modelelor conductelor de alimentare a rezervoarelor pentru combinatii $0 \leq u_1 \leq 10V$, $0 \leq u_2 \leq 10V$
tensiunea u - generare semnal SPA
- ⇒ *Harta (matrice) de modele* ⇒ *interpolarea modelelor (pentru orice valoare u_1 , u_2)*



Box-Jenkins [nb,nc,nd,nf] :

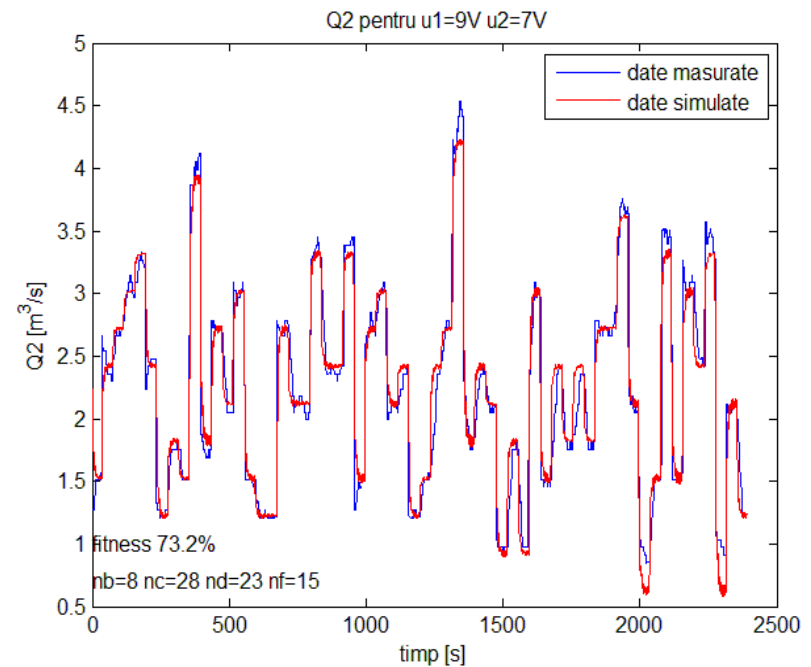
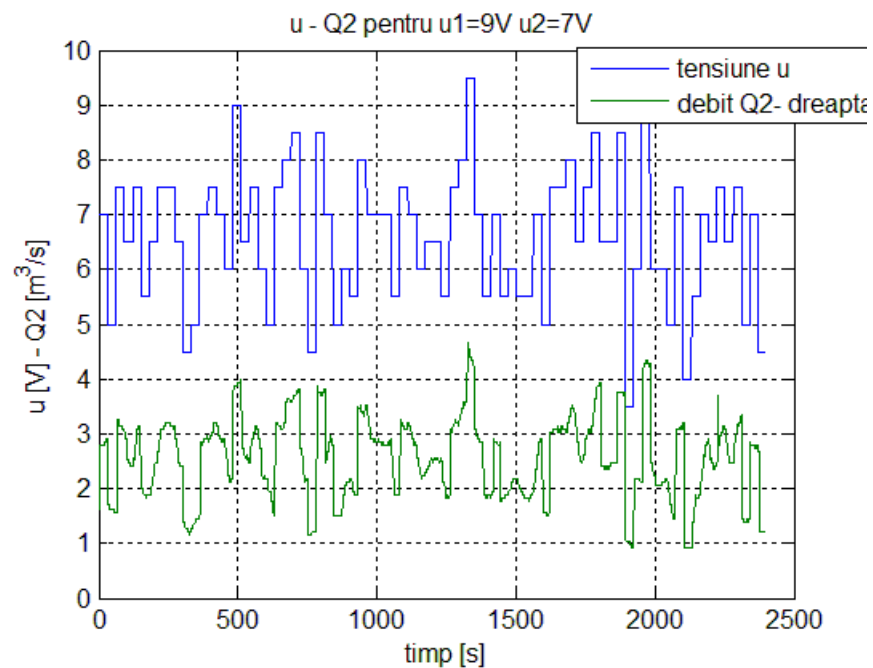
$$\begin{cases} y[n] = \frac{B(q^{-1})}{F(q^{-1})} u[n] + \frac{C(q^{-1})}{D(q^{-1})} e[n] \\ E\{e[n]e[m]\} = \lambda^2 \delta_0[n-m] \end{cases}$$

$$\begin{cases} B(q^{-1}) = (b_1 q^{-1} + \dots + b_{nb} q^{-nb}) q^{1-nk} \\ C(q^{-1}) = 1 + c_1 q^{-1} + \dots + c_{nc} q^{-nc} \\ D(q^{-1}) = 1 + d_1 q^{-1} + \dots + d_{nd} q^{-nd} \\ F(q^{-1}) = 1 + f_1 q^{-1} + \dots + f_{nf} q^{-nf} \end{cases}$$

4. Extinderea modelului analitic (2) – Rezultate simulare

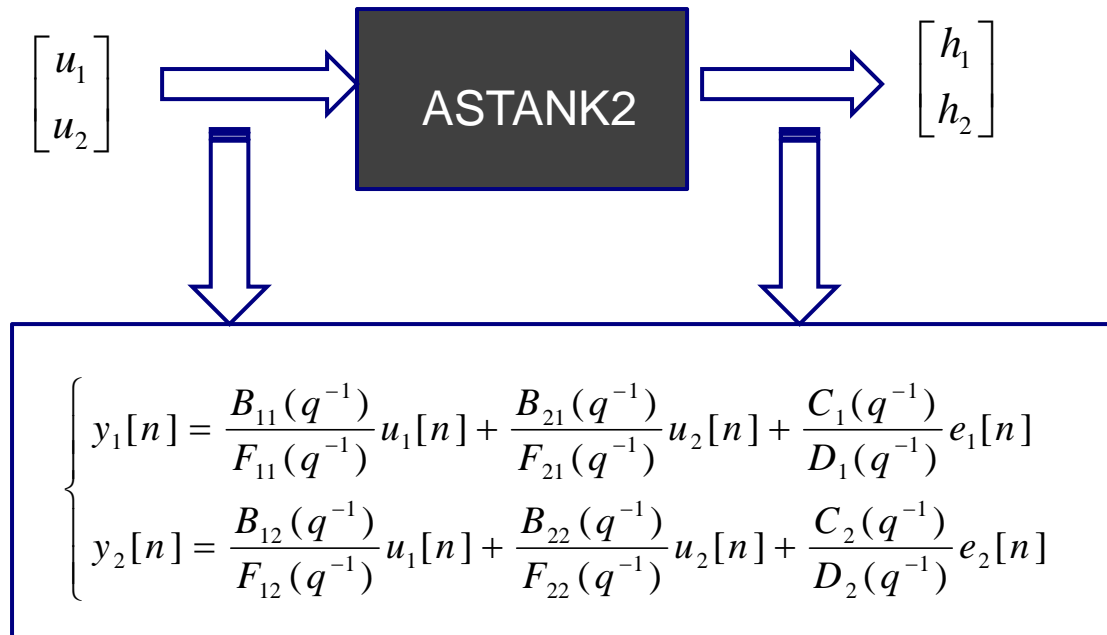
Alegerea indicilor structurali optimali : [nb,nc,nd,nf] (1:50) - Metoda empirica (Monte Carlo)

$$\mathbf{E}_N[n\theta] \stackrel{def}{=} 100 \left(1 - \frac{\sqrt{\sum_{n=1}^N |\varepsilon[n, \hat{\theta}_N]|^2}}{\sqrt{\sum_{n=1}^N \left| y[n] - \frac{1}{N} \sum_{n=1}^N y[n] \right|^2}} \right)$$



5. Modelul experimental (1)

- **Obiectiv** : controlul nivelului de lichid din rezervoare
- Identificare **multimodel** pe o plaja larga de puncte de functionare, pentru fiecare tensiune $u \Rightarrow$ PSF (u, u_1, u_2)



\Rightarrow Interpolare modele pentru tensiuni intermediare

5. Modelul experimental (3) – experiment econometric

Generarea marimilor de intrare :

- u_1 si u_2 – generare SPA => *restrictie* : limitarea salturilor de tensiune la 3V
variatie nu mai mica de 0.5V
- combinatii de valori acoperitoare pentru intreaga gama de tensiuni ale electro-valvelor
- validarea – inversarea semnalelor de intrare

Dificultati:

- zona de functionare initiala – rezervoare goale =>
 - sub 4 cm - date masurate afectate de zgomot (turbioane)
 - $T_s=0.5$ s - date masurate perturbate

Remediere:

- alegerea PSF in jurul valorii de 12 cm pentru evitarea turbulentelor care afecteaza senzorii
- $T_s=2$ s

5. Modelul experimental (2) – Algoritm de identificare

$$y[n] = \frac{B_1(q^{-1})}{F_1(q^{-1})}u_1[n] + \frac{B_2(q^{-1})}{F_2(q^{-1})}u_2[n] + \frac{C(q^{-1})}{D(q^{-1})}e[n]$$

Problema: determinarea indicilor structurali optimali (nb,nf <=30, nc,nd<=100)

x_util= [nb1,nf1,nb2,nf2,nc,nd]

1. Generare aleatoare + combinatii posibile => fitness
2. Algoritm de ascensiune montana cu initializarea de la pasul 2 => Model util M1
3. In vederea estimarii zgomotului

3.1. C=1, D=1 =>

$$y_u[n] = \frac{B_1^1(q^{-1})}{F_1^1(q^{-1})}u_1[n] + \frac{B_2^1(q^{-1})}{F_2^1(q^{-1})}u_2[n] + e[n]$$

x_zgomot= [nb11,nf11,nb21,nf21,1,1] => Model M2

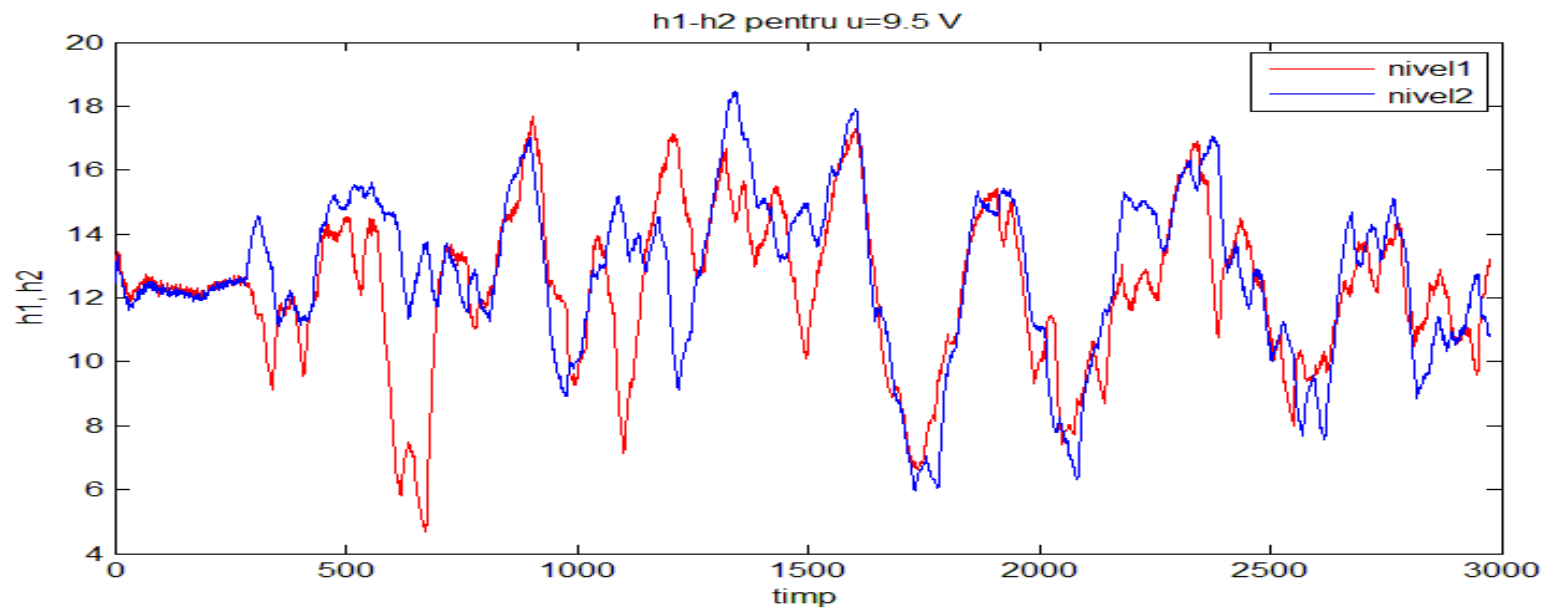
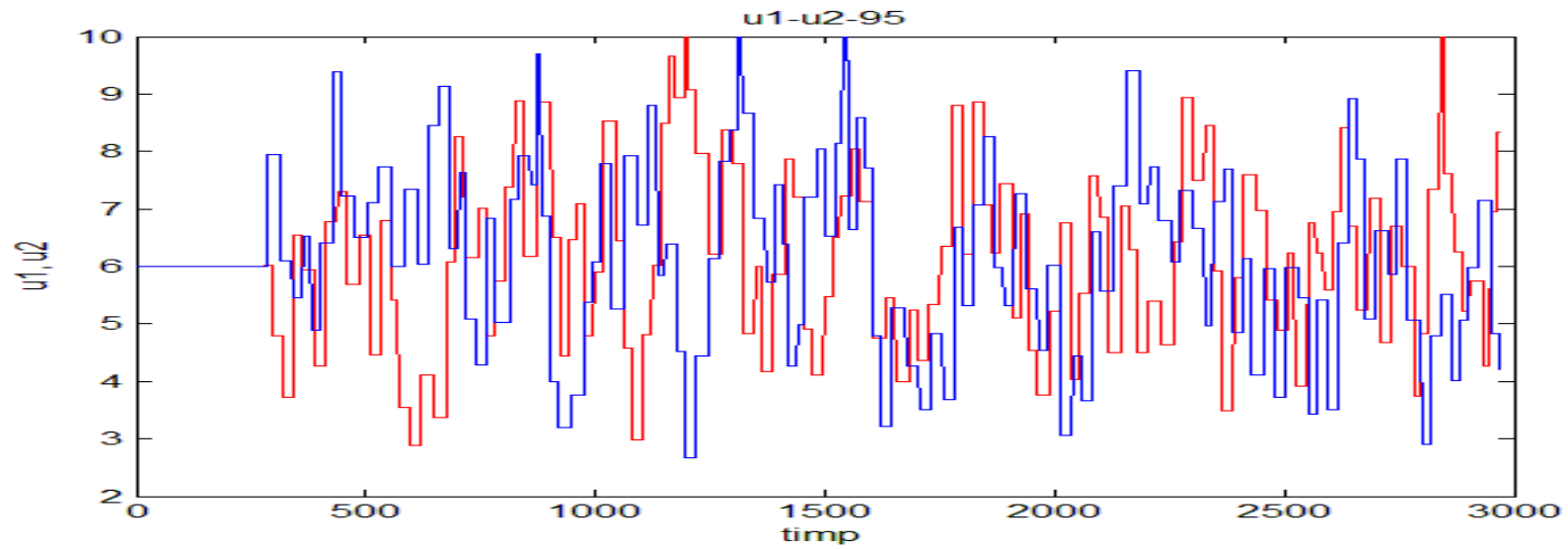
3.2. v=y_masurat-y_u

3.3. se estimeaza e din $v[n] = \frac{C(q^{-1})}{D(q^{-1})}e[n]$ => model M3

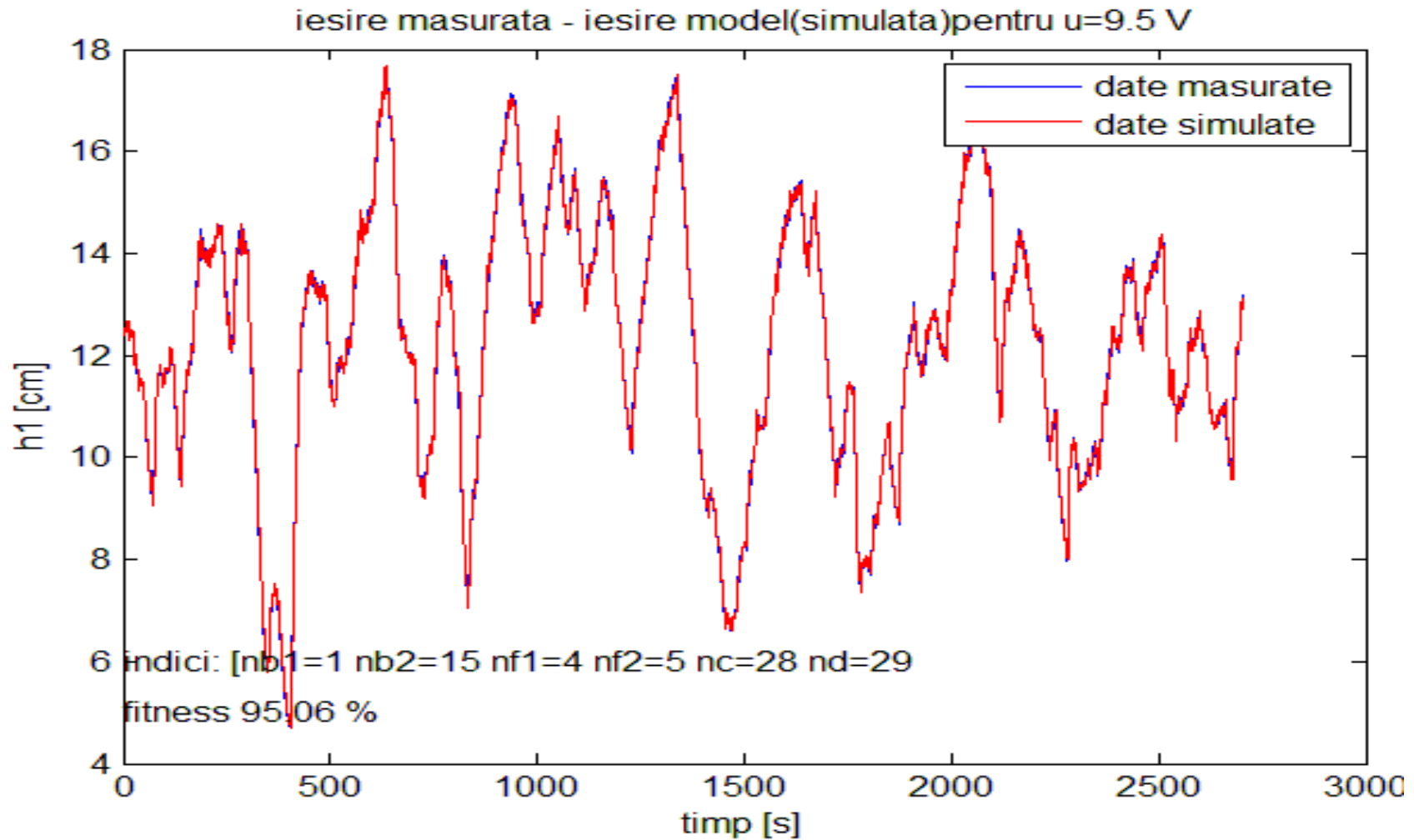
x_zgomot= [nb11,nf11,nb21,nf21,nc1,nd1]

4. Model final [nb1,nf1,nb2,nf2,nc,nd, nb11,nf11,nb21,nf21,nc1,nd1]

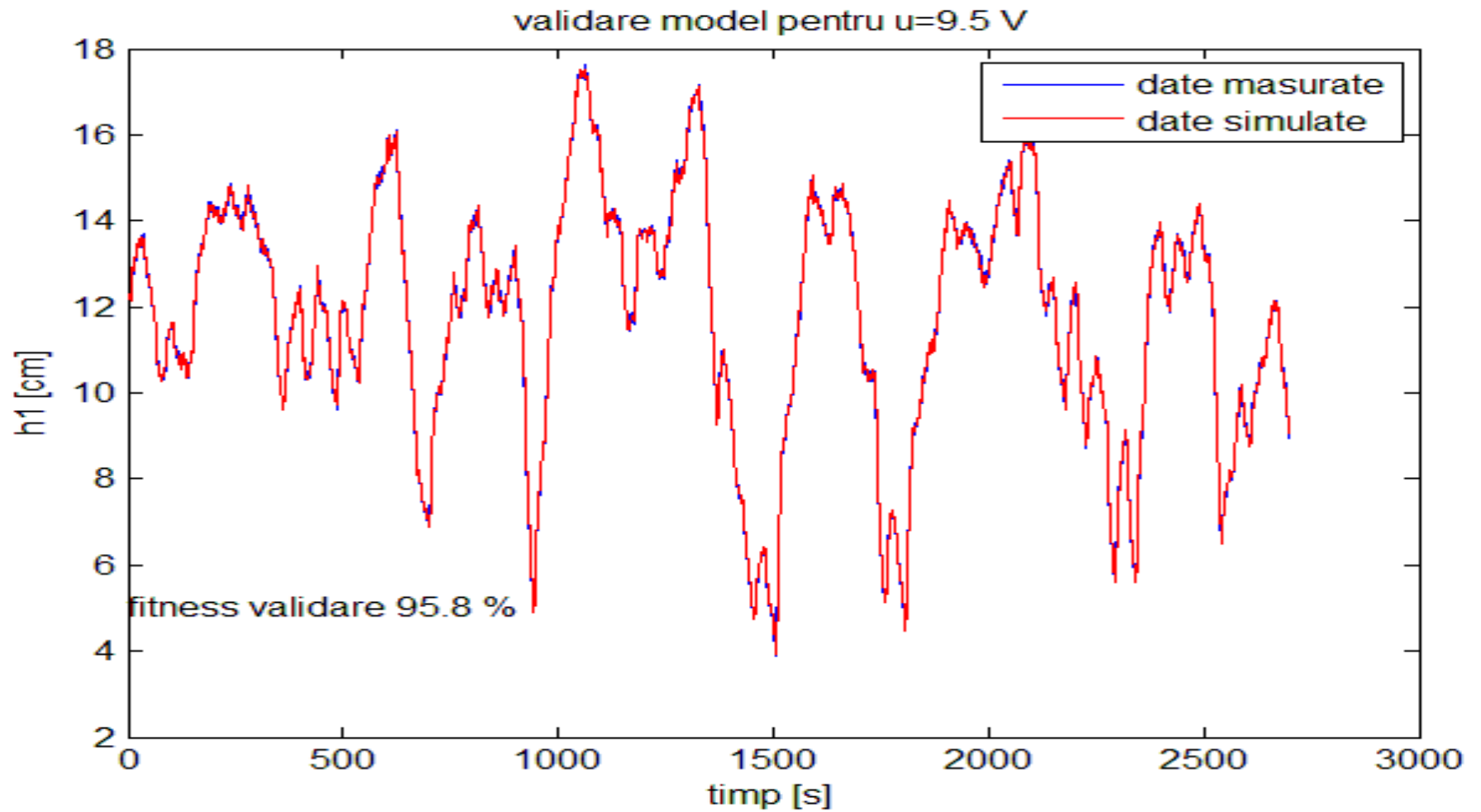
6. Rezultatele simularilor (1)



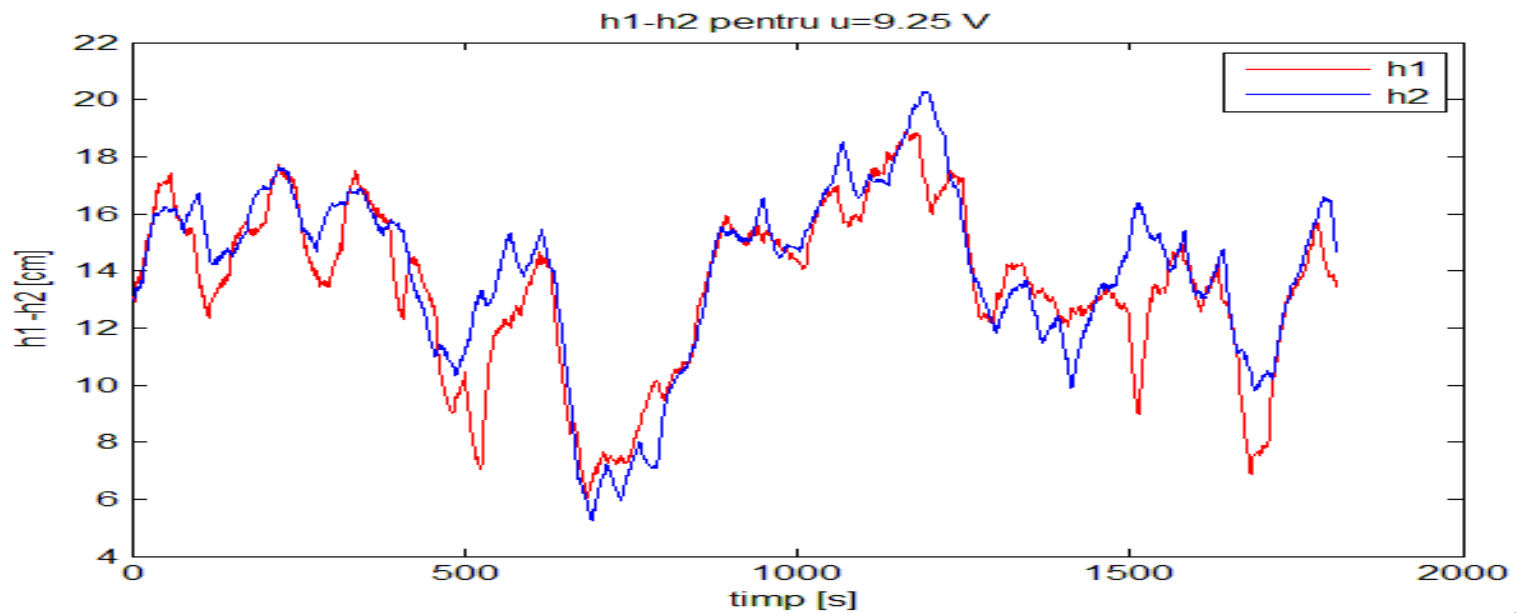
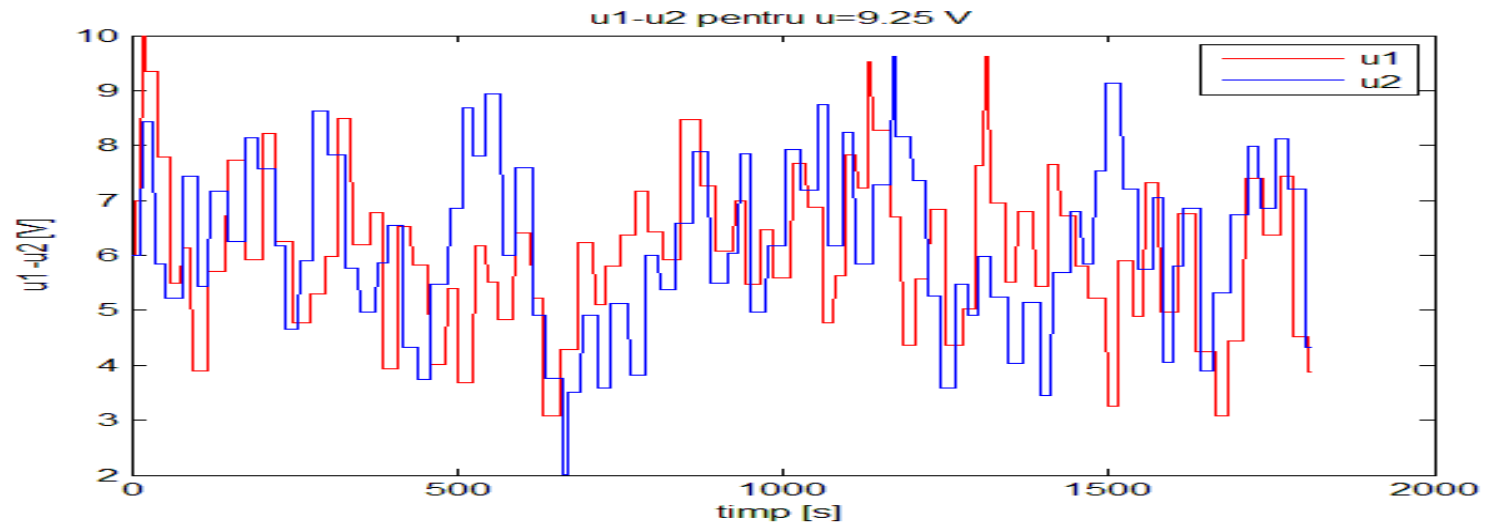
6. Rezultatele simularilor (2)



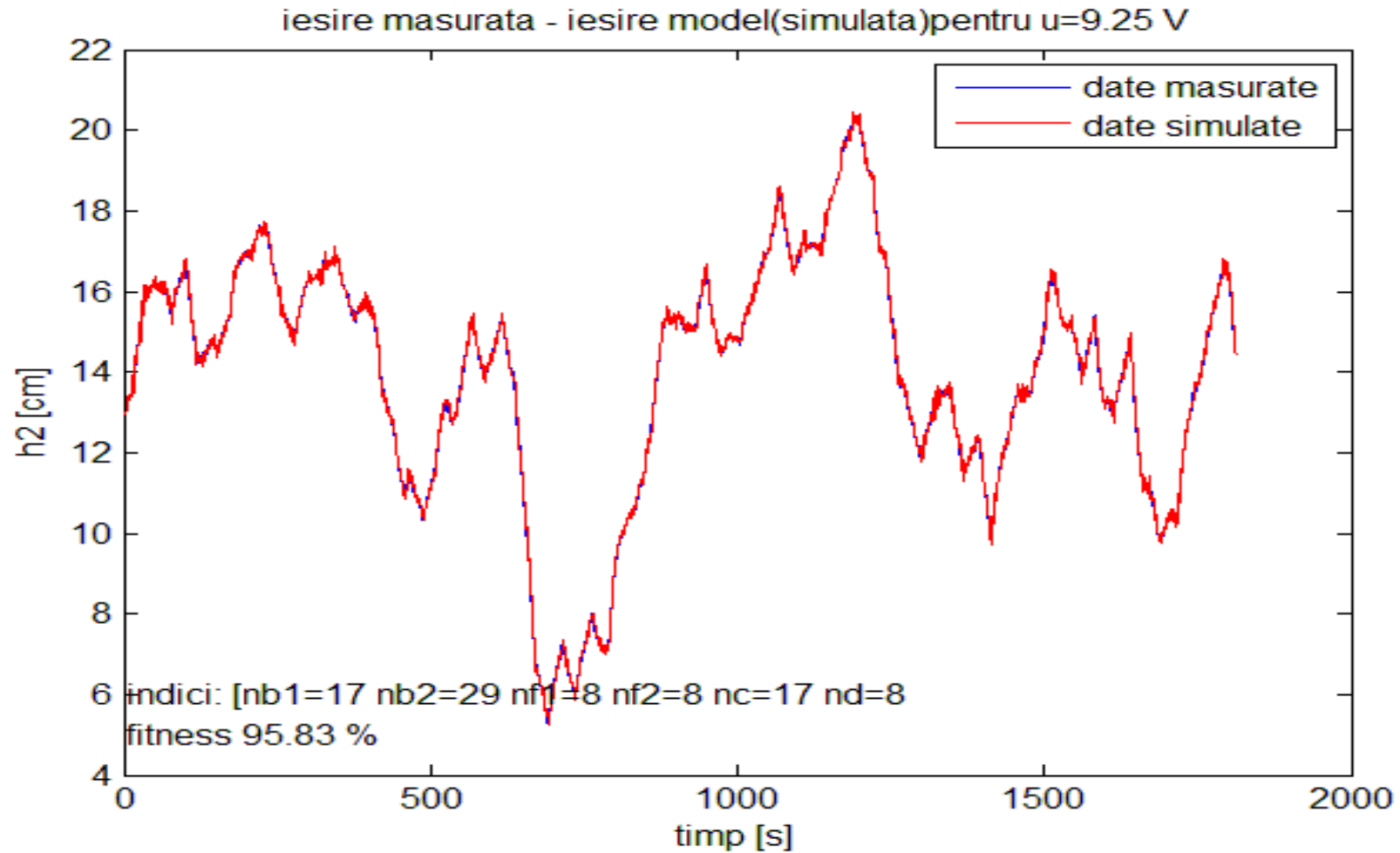
6. Rezultatele simularilor (3)



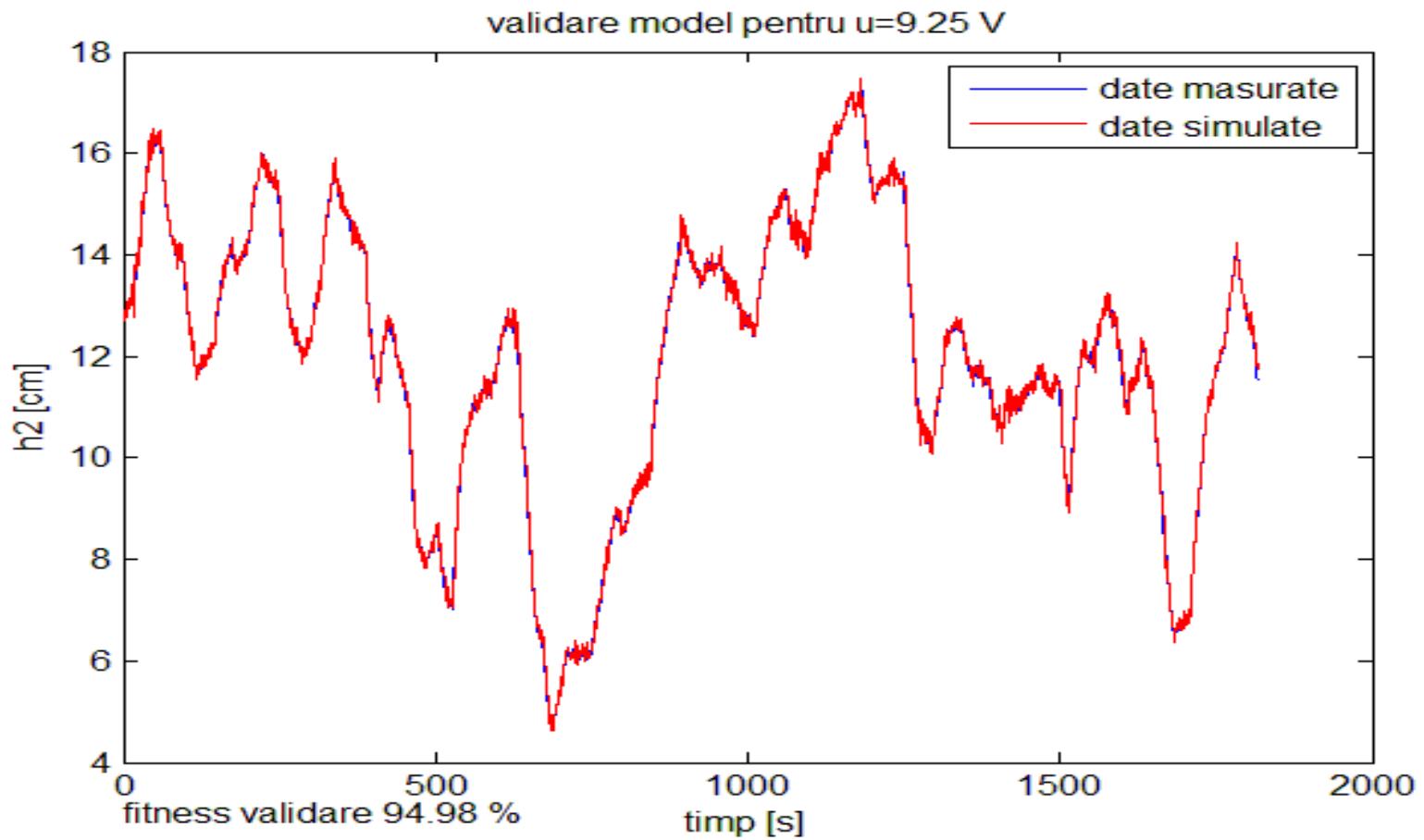
6. Rezultatele simularilor (4)



6. Rezultatele simularilor (5)



6. Rezultatele simularilor (6)





7. Concluzii si directii de cercetare viitoare

- ASTANK2 este o instalatie versatila, care ofera posibilitatea efectuarii unei game largi de experimente si care permite, de asemenea, amplasarea de senzori suplimentari in acest scop;
- O parte din modelele propuse (analitic si experimental) au fost validate pe cale experimentală;
- Proiect depus (PED Proiect experimental – demonstrativ) :
An Integrated Double Water Tank System
- Cercetari viitoare :
 - Imbunatatirea modelului analitic
 - detectia si izolarea de defecte
 - control optimal



. Bibliografie selectiva

- Alvaradoa I., Limona D., Muñoz de la Peña D. et al., “A Comparative Analysis of Distributed MPC Techniques Applied to the HD-MPC Four-Tank Benchmark”, in Journal of Process Control, Vol. 21, Issue 5, pp. 800–815, June 2011.
- Aravind P., Valluvan M., Ranganathan S., “Modelling and Simulation of Non Linear Tank” International Journal of Advanced Research in Electrical, Electronics and Instrumentation Engineering Vol. 2, Issue 2, pp. 842–849, February 2013.
- Christy Y., Dinesh Kumar D., “Modeling and Design of Controllers for Interacting Two Tank Hybrid System (ITTHS)”, International Journal of Engineering and Innovative Technology (IJEIT), Vol. 3, Issue 7, pp. 88–91, January 2014.
- Shijoh V., Vaidyan M.V., “Development of Nonlinear Model and Performance Evaluation of Model based Controller and Estimator for the Efficient Control of Three-Tank Hybrid System”, International Journal of Computer Applications (0975–8887) Volume 56, No.12, October 2012.
- Culita Janetta, Stefanoiu Dan, Dumitrascu Alexandru- ASTANK2: Analytical Modeling and Simulation, CSCS-20, pp. 141-148 (Vol. 1), May 27–29, 2015
- Dumitrascu Alexandru, Istratescu Cezar Stefan, Stefanoiu Dan, Culita Janetta-Environment Communication and Control Systems Integrated on Teaching Platforms – Case Study: Double Water Tank System (E), CSCS-20, pp. 941-945 (Vol. 2), May 27–29, 2015